

AF 55/010/SEDCE  
110012 80 0KV X2500

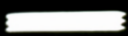
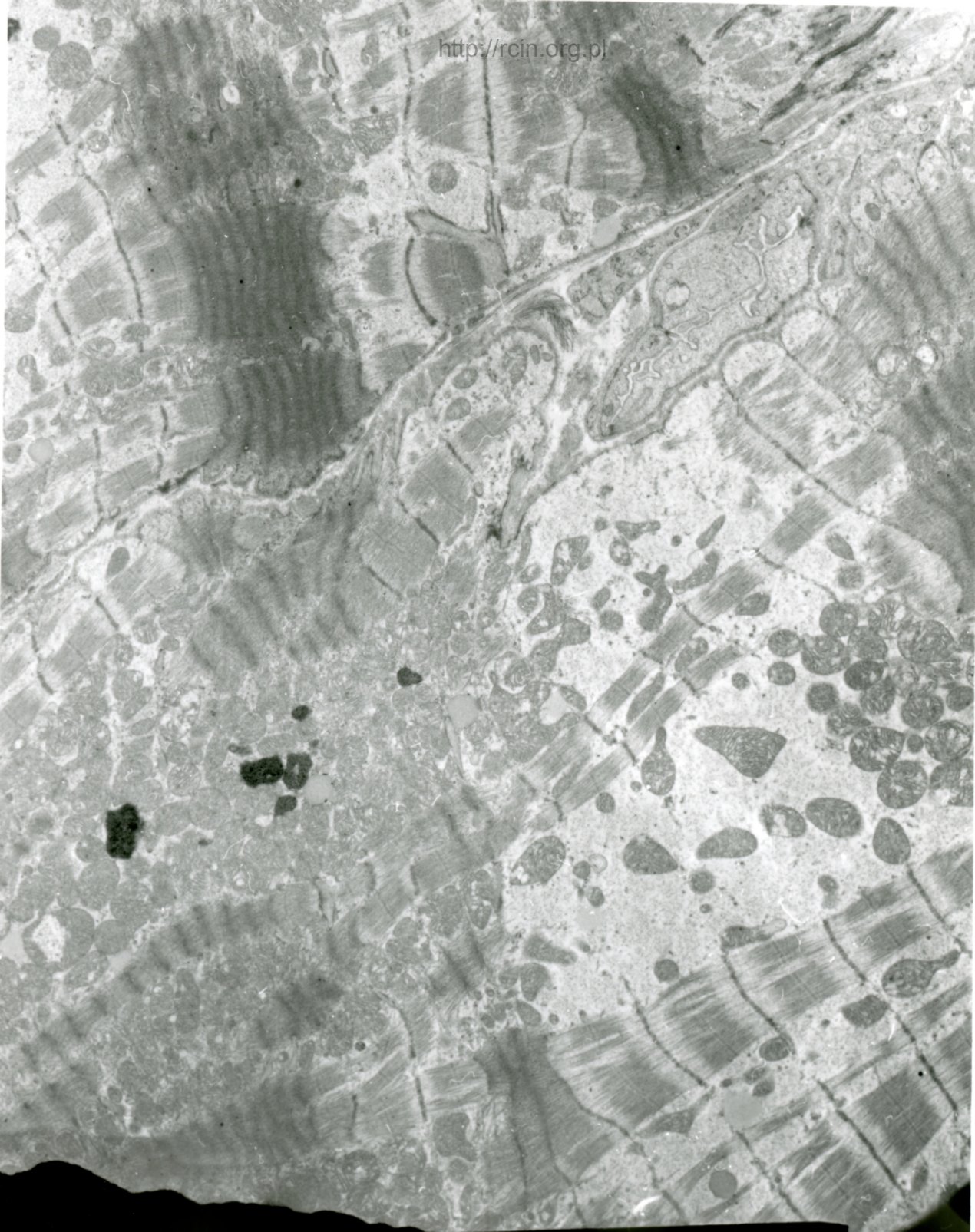


Fig. 1





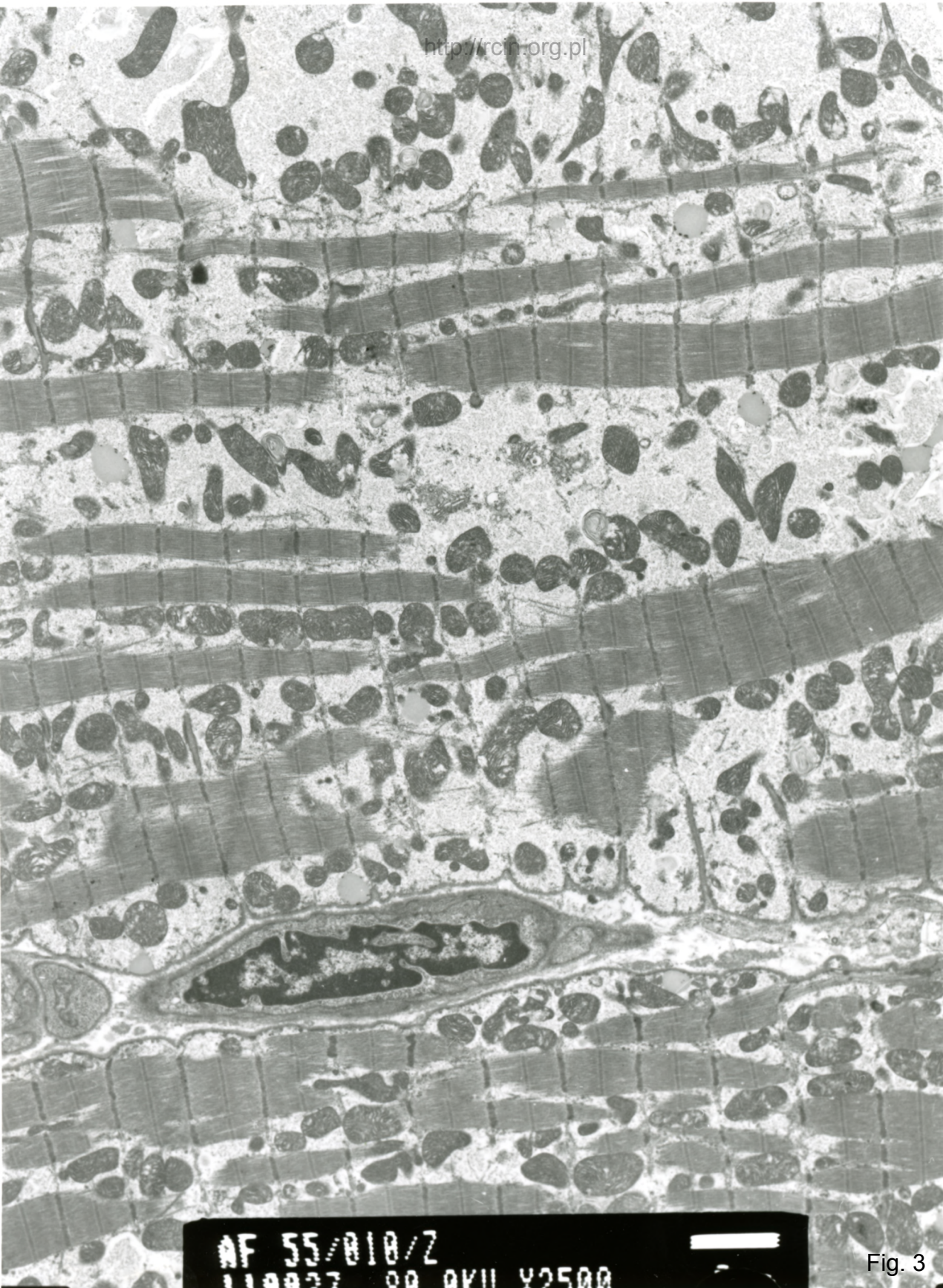
AF 55/010/SEDCE  
110013 80.0KV X2500



2µm

Fig. 2





AF 55/010/Z  
110027 00 0V11 Y2500

Fig. 3

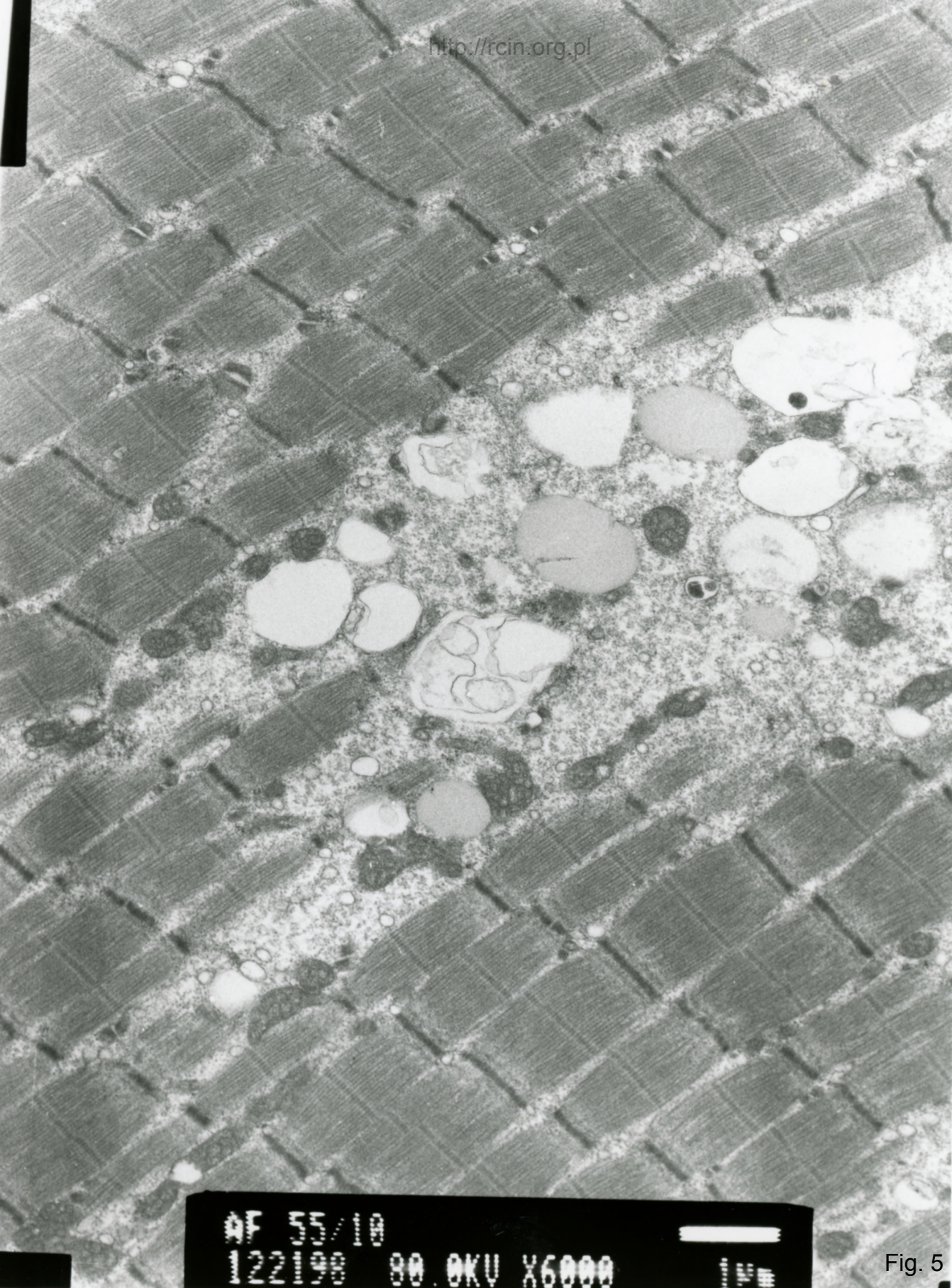




AF 55/010/Y/SERCE  
110032 80 AKU X2500

Fig. 4

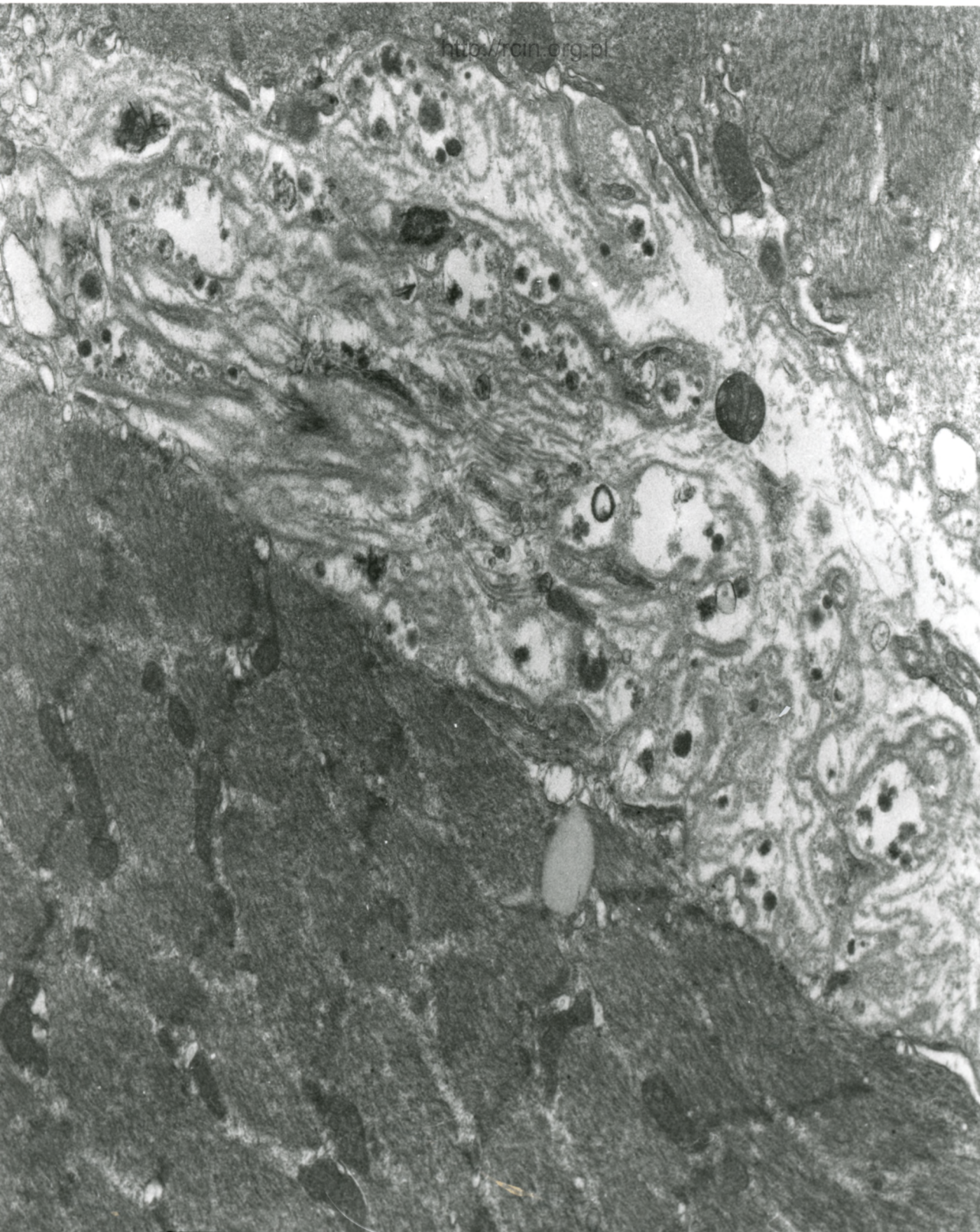




AF 55/19  
122198 80.0KV X6000

Fig. 5

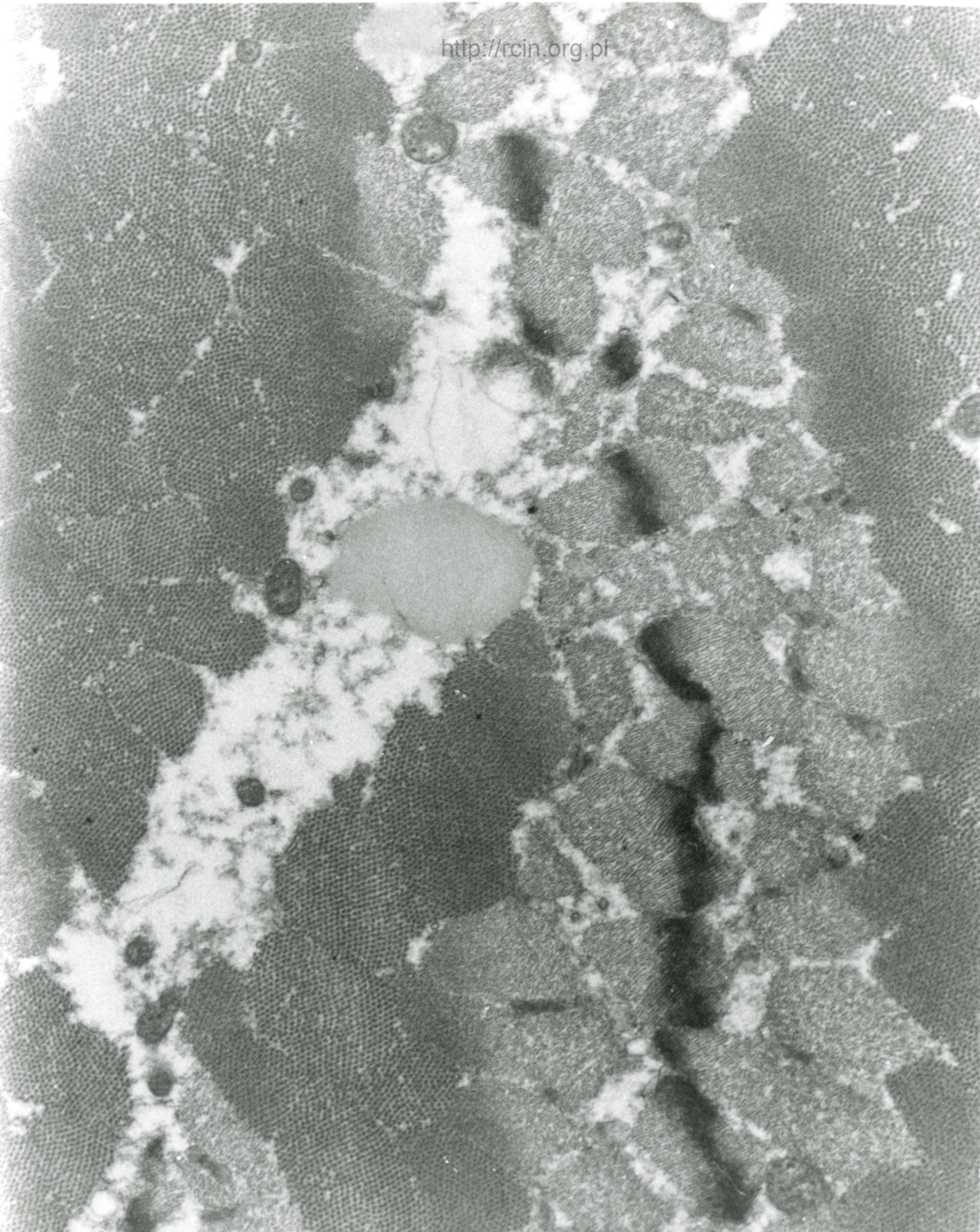




AF 55/10  
122199 80.0KV X7500

Fig. 6

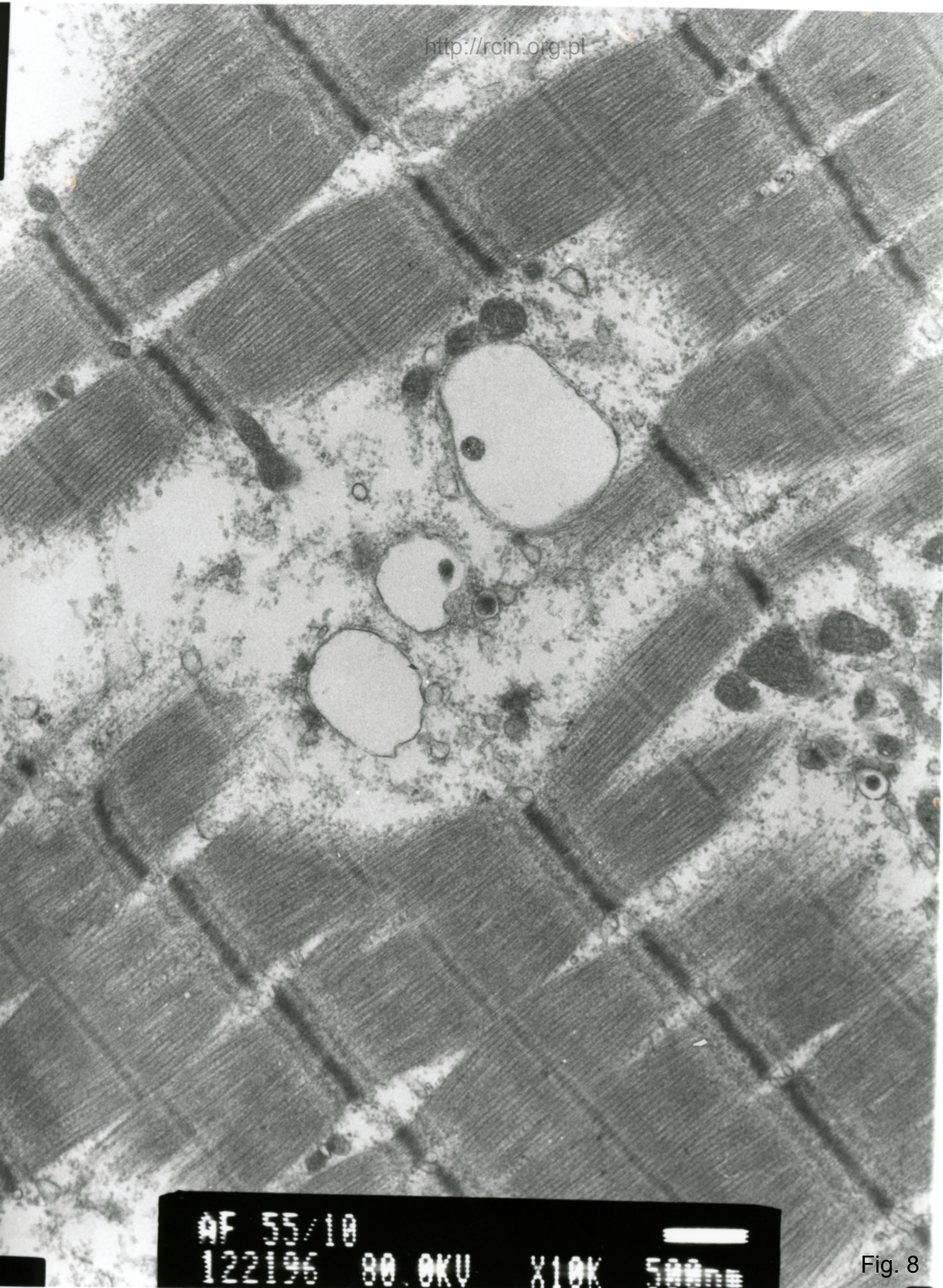




#F 35/10/  
142865 80.0KV X10K 500nm

Fig. 7





AF 55/19  
122196 80.0KV X10K 500nm

Fig. 8





F 55/10/  
22147 00.0KV X7500 1µm

Fig. 9

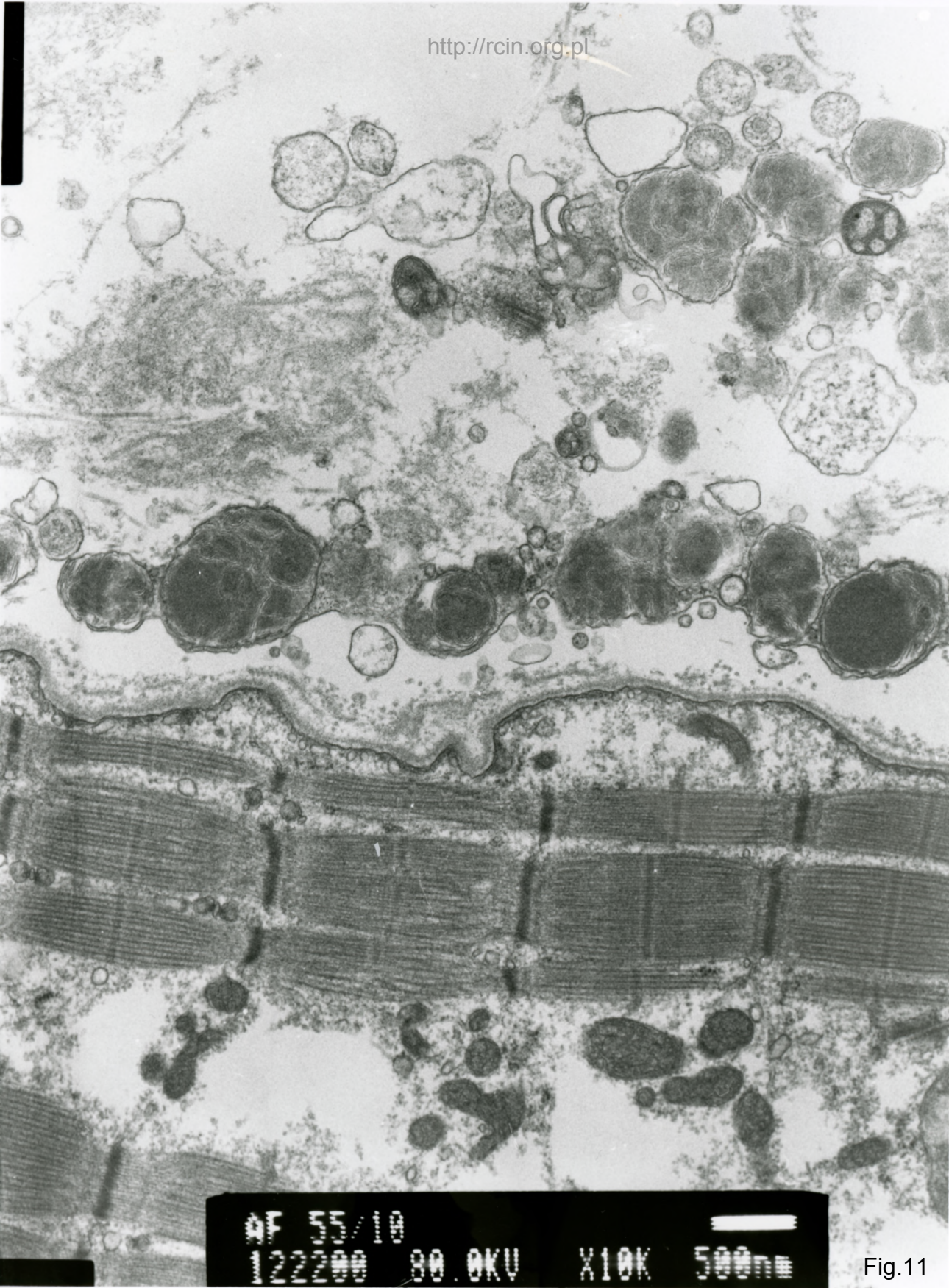




AF 35/10  
122197 80.0KV X12K 500nm

Fig.10





AF 55/19  
122200 80.0KV X10K 500nm

Fig.11





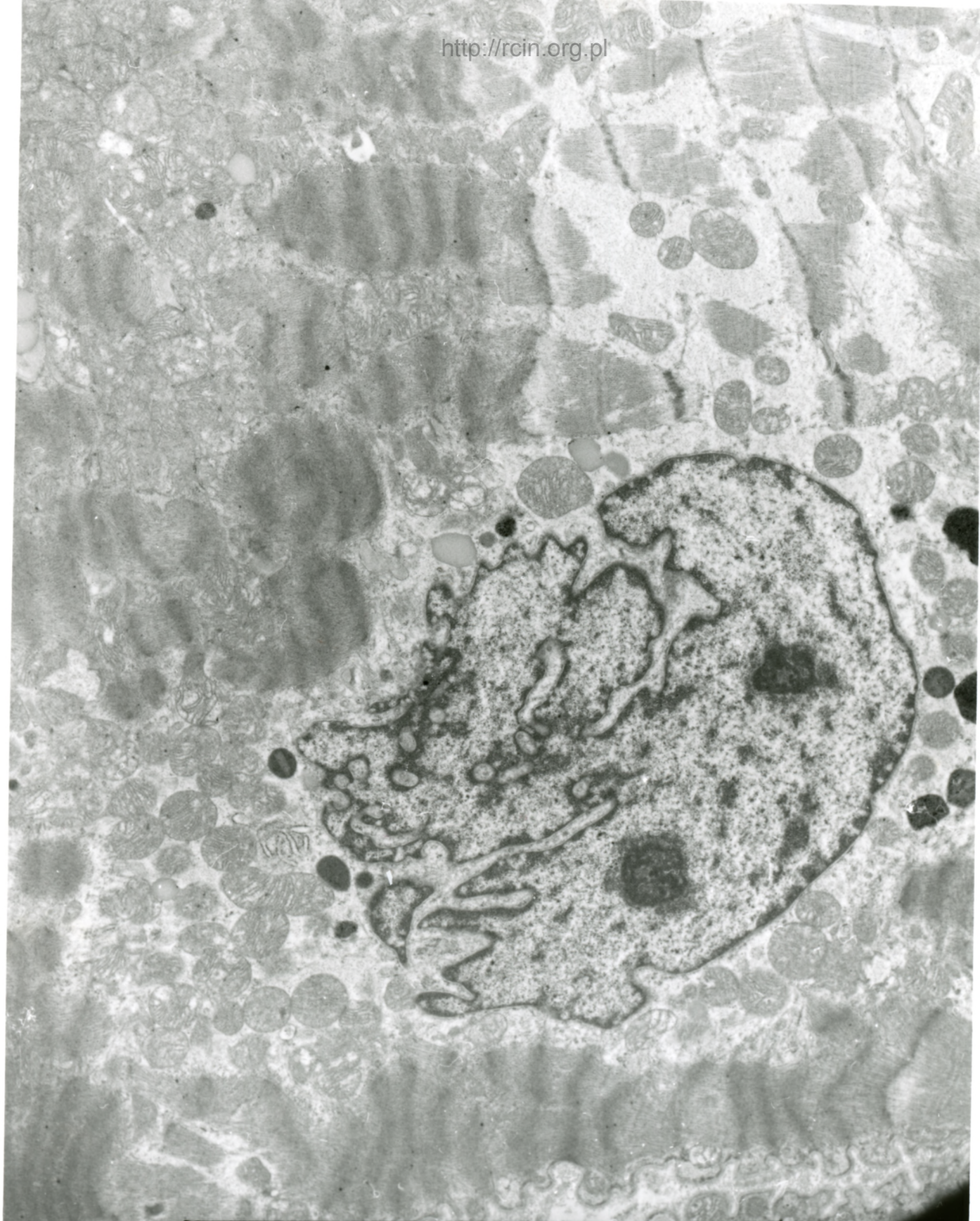
AF 55/10/MILCZ  
122144 00.0KV

X12K

500nm

Fig.12

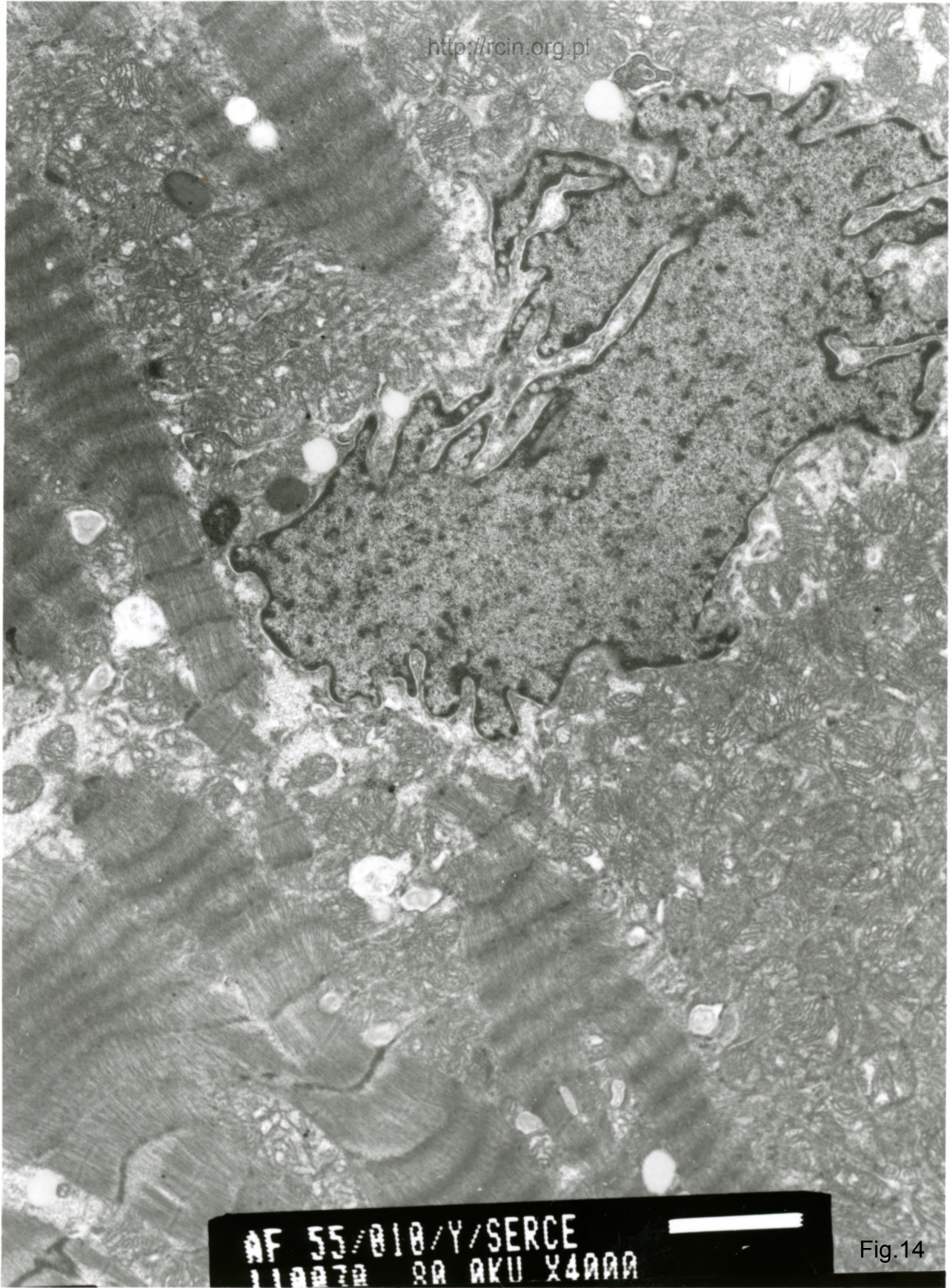




AF 55/010/SEDCE  
110011 80.0KV X3000 24

Fig.13

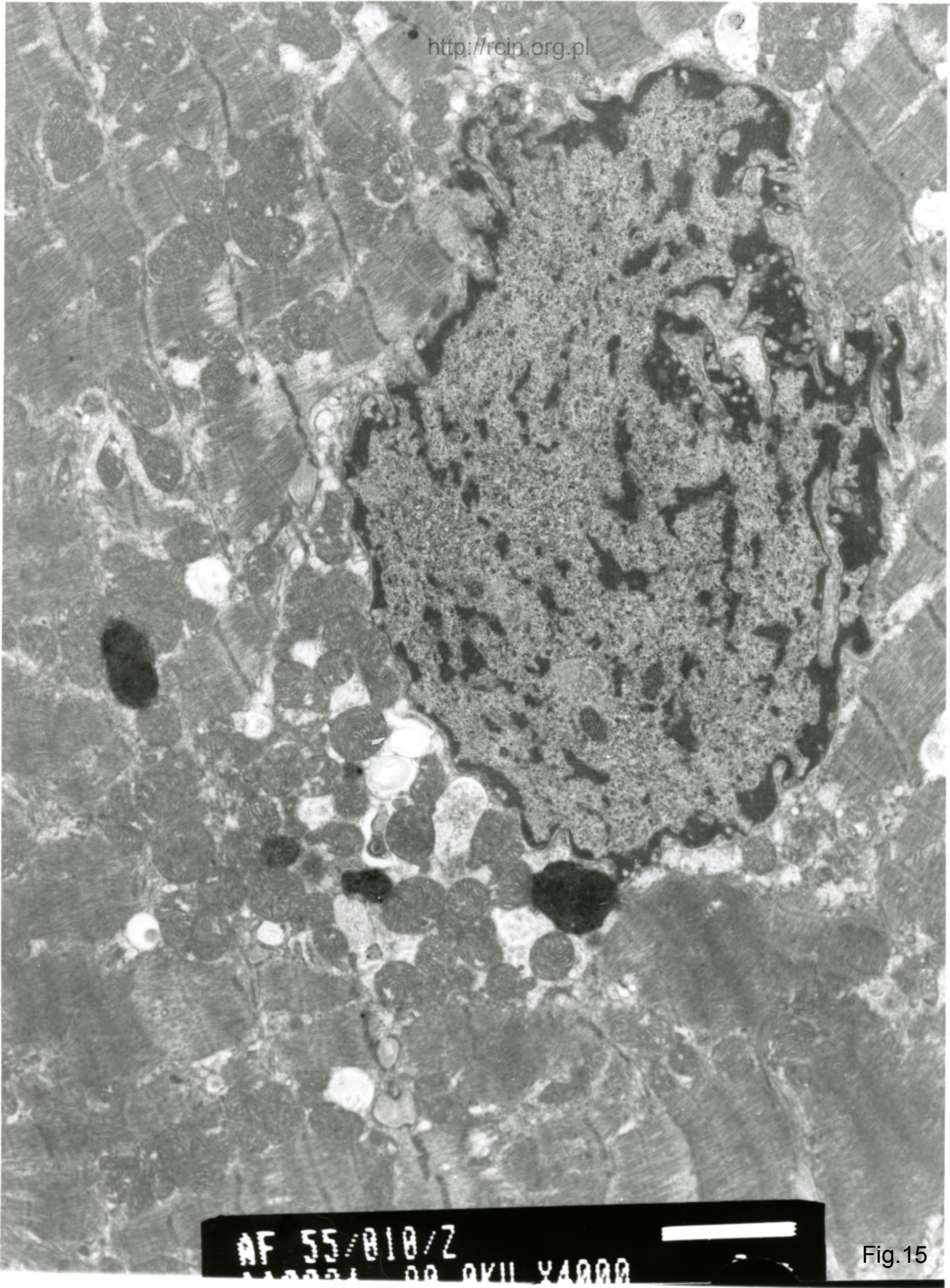




AF 55/010/Y/SERCE  
110070 00 AKU X4000

Fig.14



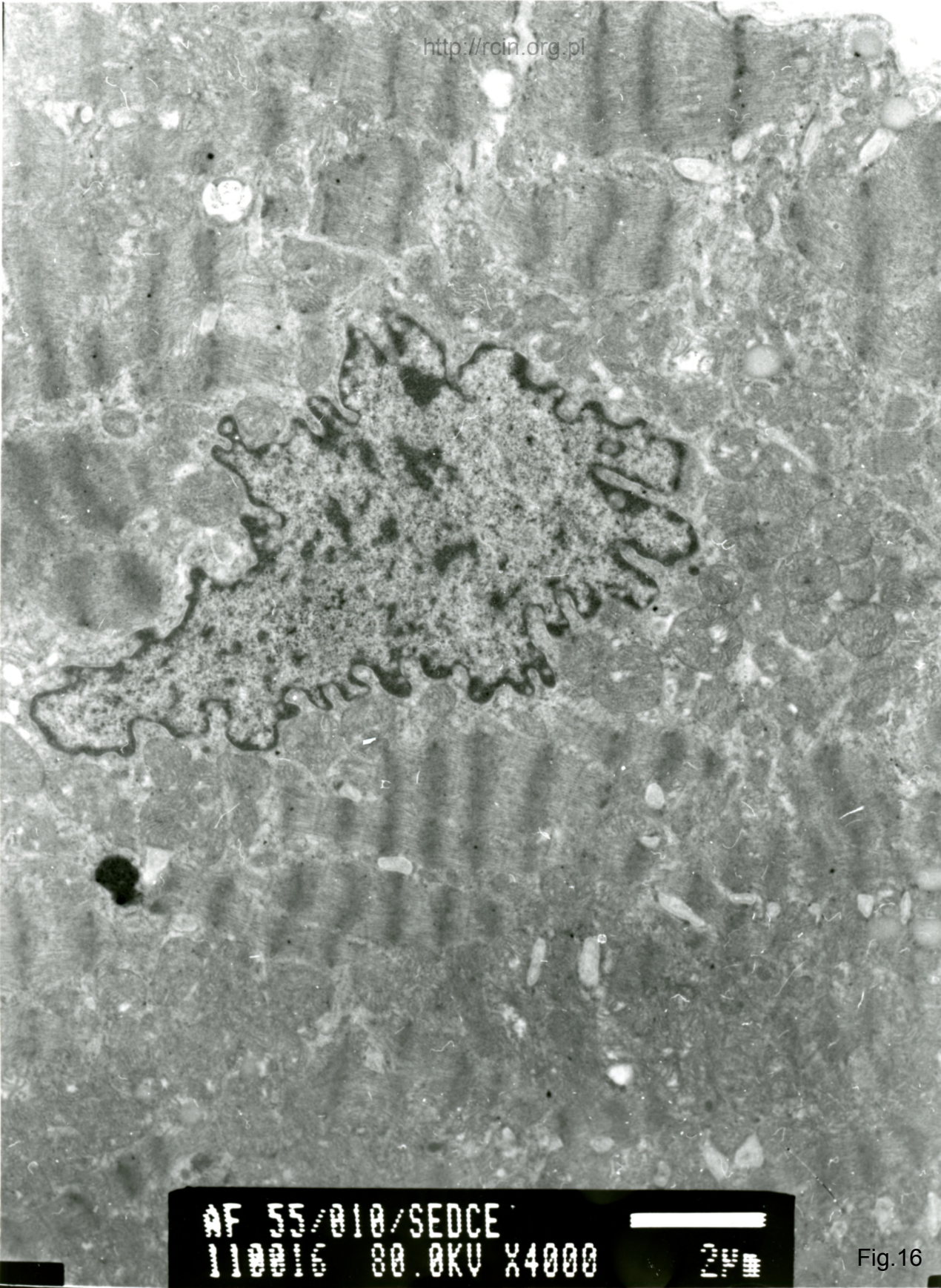


AF 55/010/2

110001 00 OKU 24000

Fig.15





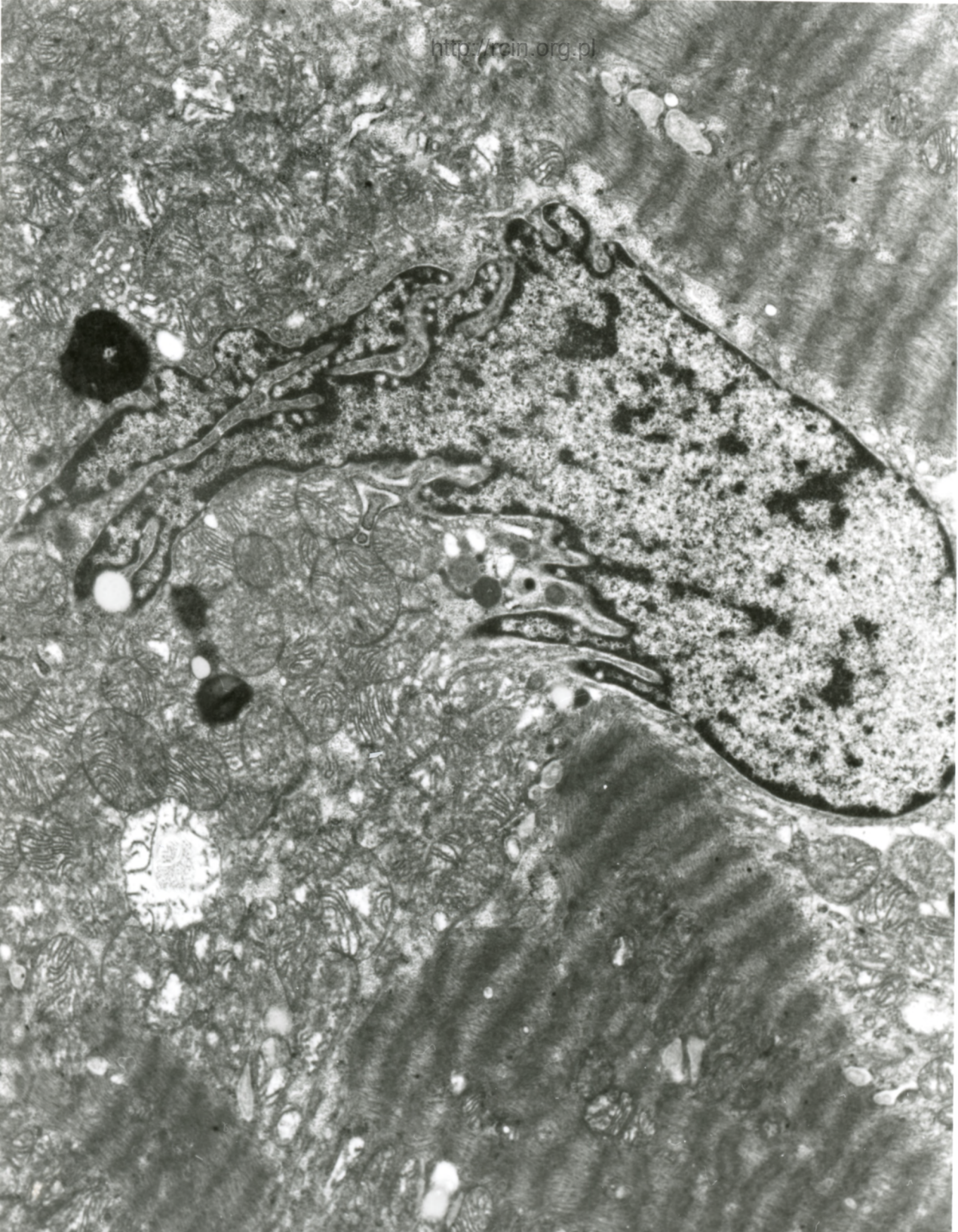
AF 55/010/SEDCE  
110016 80.0KV X4000



2µm

Fig.16

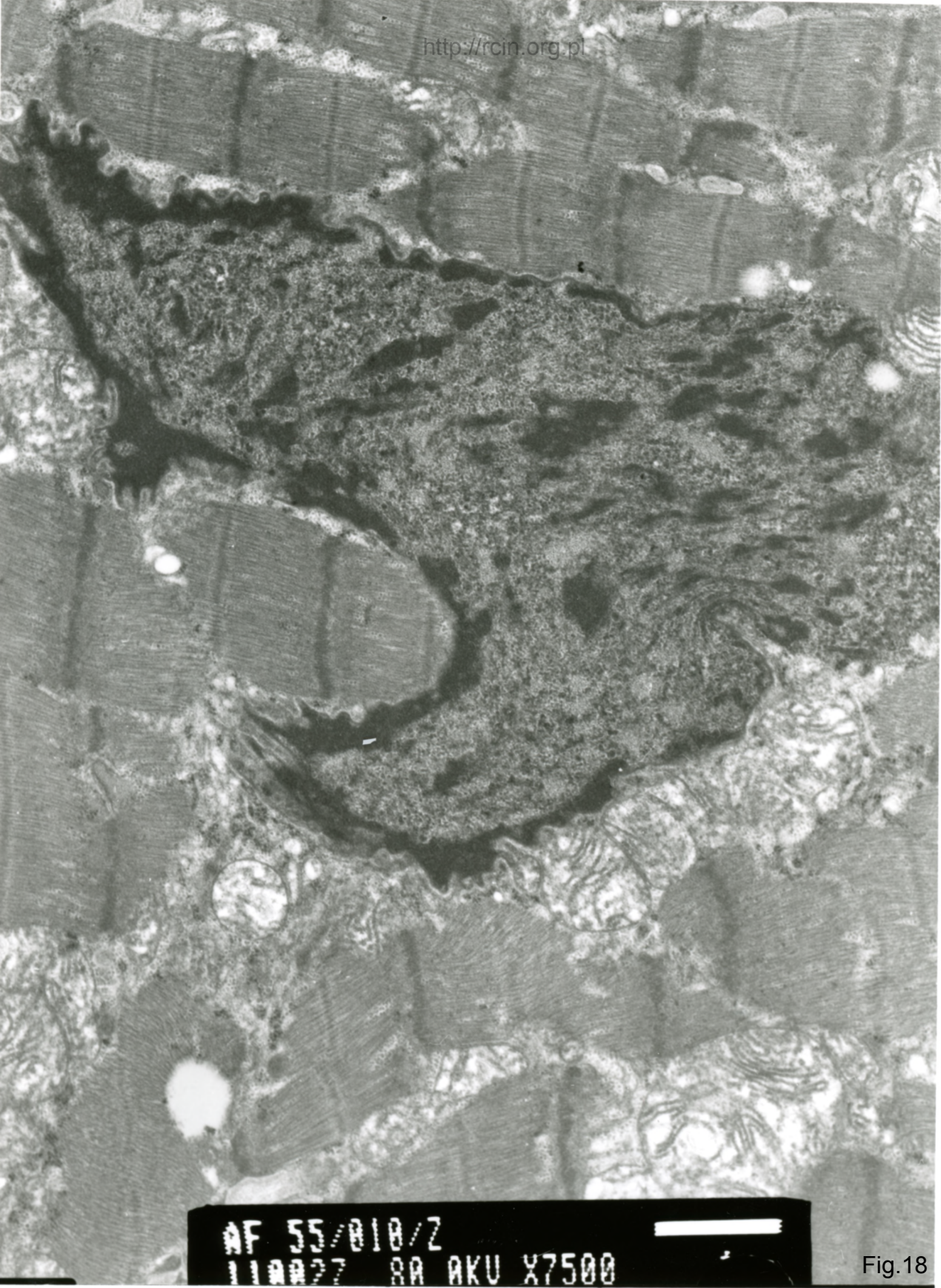




AF 55/010/Y/SERCE  
110071 00 OKU 05000

Fig.17

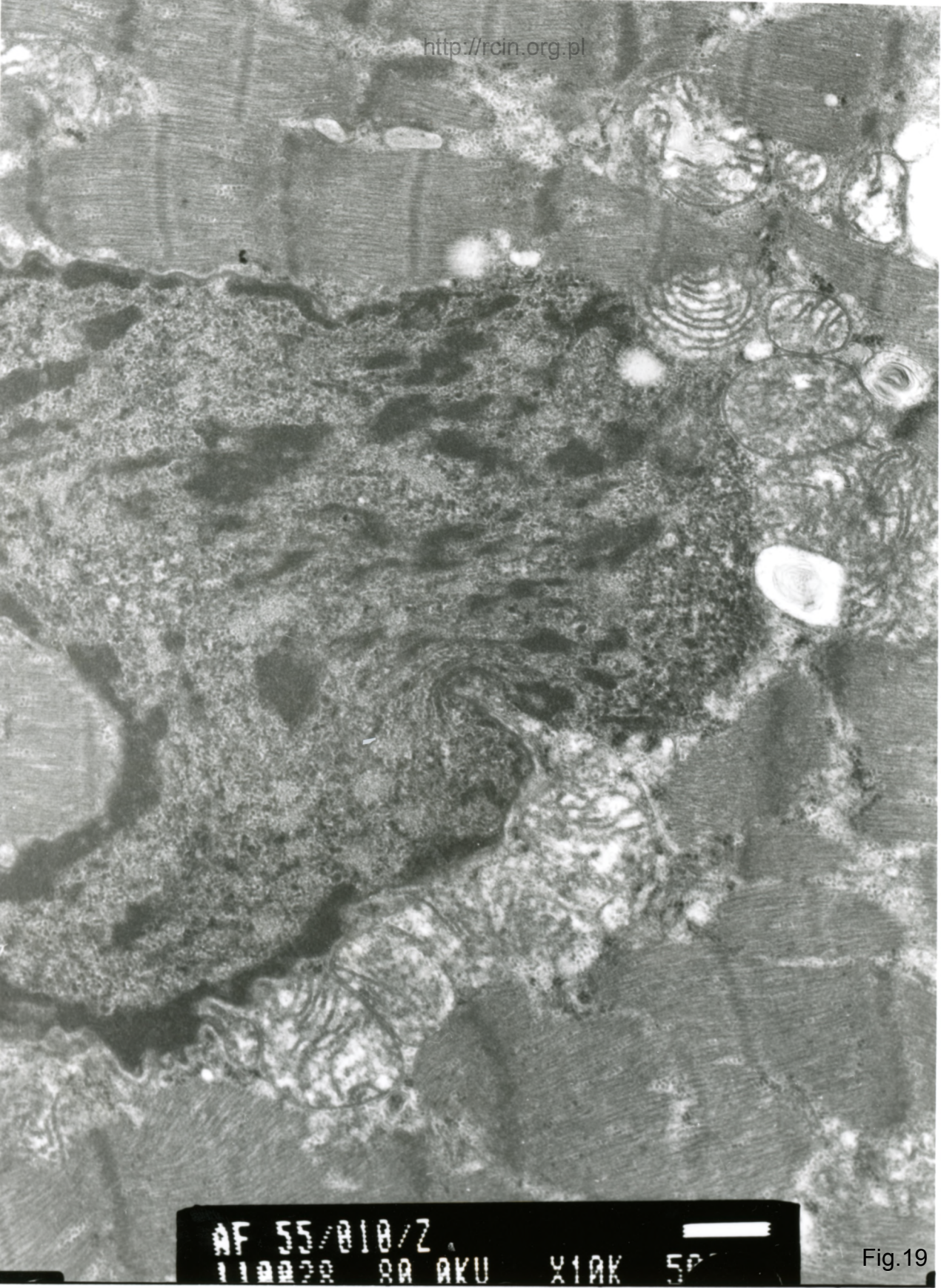




AF 55/010/Z  
110027 80 AKU X7500

Fig.18

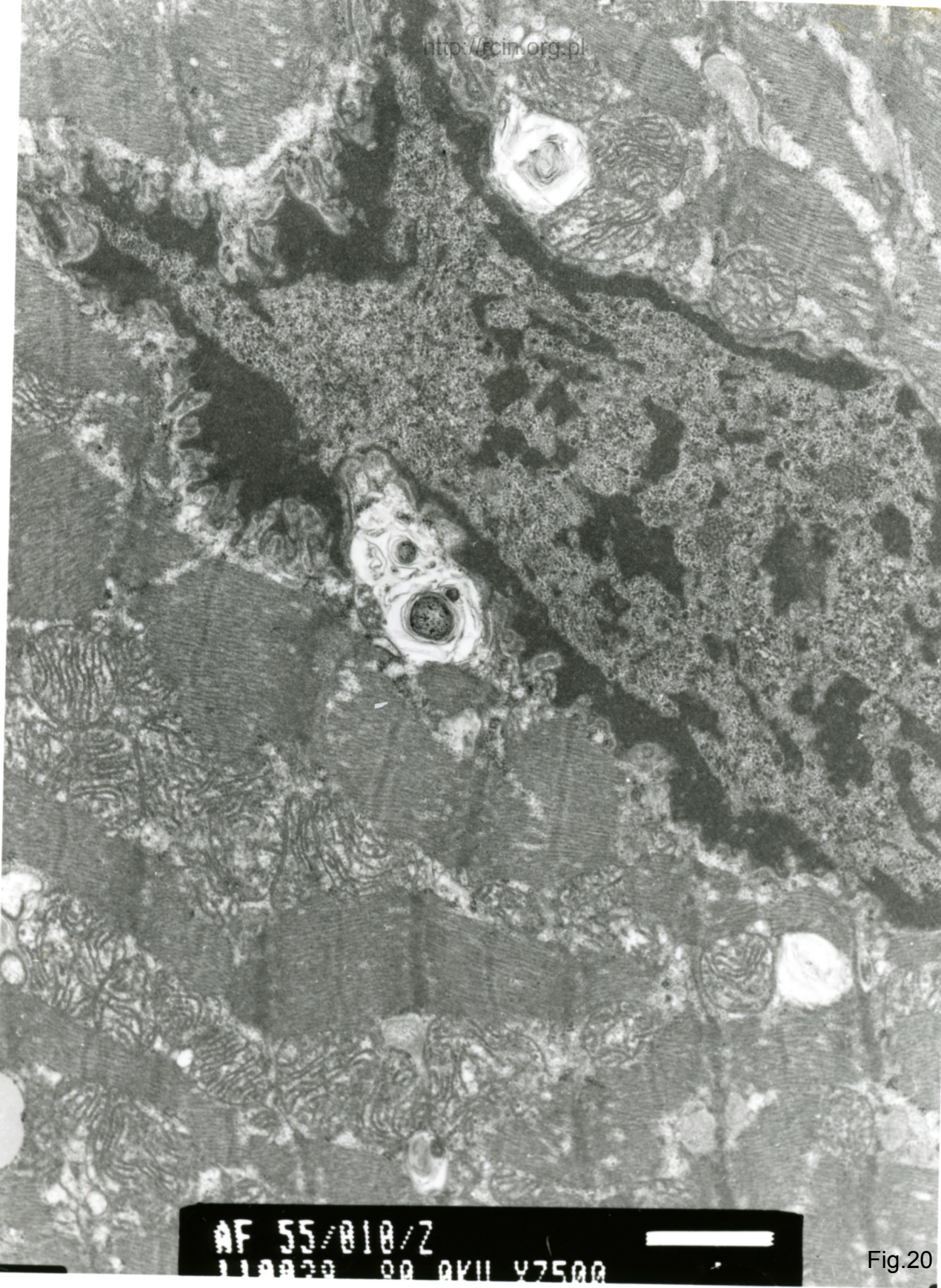




AF 55/010/Z  
110020 80 AKU X10K 50

Fig.19





AF 55/010/Z  
110020 00 OKU 42500

Fig.20



55/10

l. 18

### Laminopatia

Analiza ultrastrukturalna wykazała zaburzenia w przebiegu miofibrili oraz ich dezorganizację, a miejscami znaczny ubytek, skutkujący tworzeniem opustoszałych przestrzeni, także pod sarkolemmą i w okolicach jąder komórkowych (Fig. 1-12). Obserwowano cechy charakterystyczne dla laminopatii. Jądra kardiomiocytów miały nieprawidłowy kształt, otoczka jądrowa była pofałdowana, z licznymi wgłobieniami (Fig. 13-17). Obecne były zmienione mitochondria o jasnej macierzy, charakteryzujące się ubytkiem grzebieni lub ich nieprawidłowym przebiegiem. Miejscowo obserwowano autofagię (Fig. 18-20)

Ultrastructural analysis revealed myofibrillar disruption and disorganization, focally significant or complete loss of myofibrils, resulting in the formation of vacuolated spaces, also under the sarcolemma and in the vicinity of nuclei (Figs. 1-12)

Features characteristic for laminopathy were observed. The nuclei of cardiomyocytes were abnormally shaped, the nuclear envelope was corrugated, with numerous indentations (Figs. 13-17). Altered mitochondria, characterized by bright mitochondrial matrix, loss or abnormal arrangement of cristae were present. Autophagy was locally observed (Figs. 18-20)